

III-15 正規圧密粘土の非線形圧密理論解とその適用

西日本工業大学 正員 安原一哉

1.はじめに 著者はこれまでに二次圧密を考慮した飽和粘土の一軸的応力・ ϵ - σ 関係式を導き、粘土地盤の地下水解析への適用方法についても述べてきた。その際に、最も問題となつたのは、計算法の基礎が $e - \log \sigma'$ 関係の直線性を仮定しているにもかかわらず、有効応力の経時変化はHooke則に基づくTerzaghiの理論に基づいていた。

本文では、この点の不備を補うために、固隙水圧で記述されたDavisとRaymond⁴⁾の非線形圧密理論の結果を用い、モデル地盤を仮定して地下水解析を行つてみた。本文はその数値実験結果を報告したものである。

2. DavisとRaymondによる非線形圧密理論とその解 DavisらはTerzaghiからの圧密理論、諸過程において用いたHooke則の代りに圧密試験における $e - \log \sigma'$ の直線性から

$$\frac{de}{1+e_i} = -\frac{\lambda}{1+e_i} \frac{d\sigma'}{\sigma'} \quad (1)$$

を仮定して

$$U = \sigma'_f \left[1 - \left(\frac{\sigma'_i}{\sigma'_f} \right)^B \right] \quad (2)$$

なる理論解を得た。ここで、

$$B = \sum_{n=1}^{\infty} \frac{2}{M} \sin(M \frac{n}{H}) \exp(-M^2 T_n) \quad (3)$$

である ($M = n\pi(n+1)/2$, $T_n = C_w t / H^2$, H : 排水距離)。

これから、 ϵ - σ' の平均圧密度について

$$U_e = 1 - \sum_{n=0}^{\infty} \frac{2}{M} \exp(-M^2 T_n) \quad (4)$$

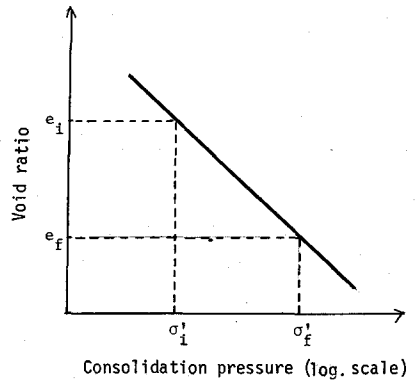


図-1 $e - \log \sigma'$ 実験のエクスプレス

となる、これはTerzaghiの理論結果と一致する。一方、応力に関する平均圧密度については

$$U_0 = 1 - \frac{\int_0^H u dz}{\int_0^H \Delta \sigma' dz} = \frac{\int_0^H [1 - (\frac{\sigma'_i}{\sigma'_f})^B] dz}{\int_0^H [1 - (\frac{\sigma'_i}{\sigma'_f})] dz} \quad (5)$$

となる。 σ'_i/σ'_f の値（すなわち、荷重のかけ方）によつて異つてくることがわかつた（ちなみに、Davisらは式(2)を導いたが、式(5)には至つていない）。そこで、 σ'_i/σ'_f をいかへて、式(5)を数値計算してみると図2のような結果が得られた。これから、荷重増加率の小さい範囲では $U_0 \sim T_n$ 関係はTerzaghi理論（すなわち、式(4)による結果）と余り変わらないが、荷重増加率が大きい場合には圧密の途中において著しく荷重増加率が著しく遅れる傾向がある。このことは、しかし、三笠⁵⁾がその圧密理論において2つとに描寫していることではある。

3. FEF解析への適用

上式の結果を元に提案した地下水解析に適用して、これまで通り、Terzaghi理論解を利用した結果と比較してみよう。

地下水解析のための基礎がこれまでに報告しているように

$$\varepsilon_v = \left\{ \frac{c_c}{1+e_0} + \beta_s \log \left(\frac{H^2}{H_0^2} \right) \right\} \log \left[1 + \frac{\Delta \sigma}{\sigma_{0v}} \cdot T_{0v} \right] + \beta_s \cdot \log \frac{t}{t_0} \quad (6)$$

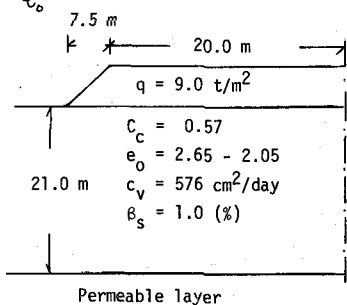
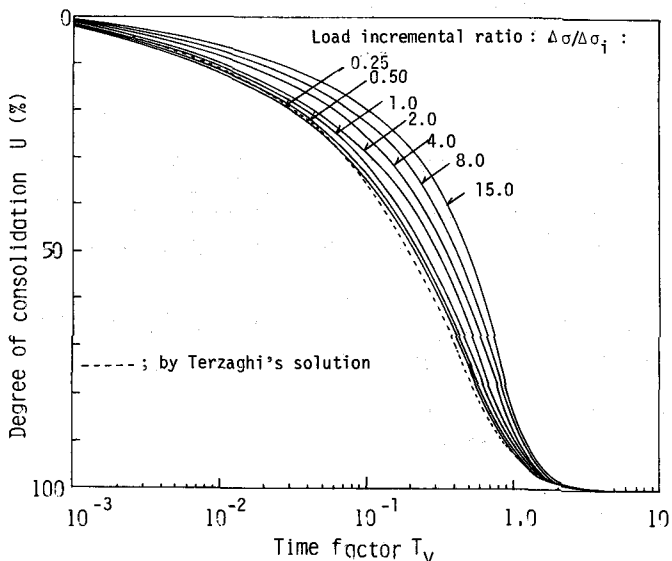


図-3 (上) 計算に用いた
モデル地盤

図-2 (左) Davis & Raymond
理論による数値計算結果
果

上式の ε_v は式(5)を適用して地下解析を行なうのが本文の目的である。

計算に用いたモデル地盤は、図-3 に示している。盤土による計算圧密地図曲線と図-4 を得た。計算に当つて注意したことは、

i) 粘土層を 8 层に分割したこと、ii) 横方向における c_c , c_v , β_s は一定としていたこと、致し、 e_0 は土壤り在応じて変化あるとしていたこと、iii) 盤土は瞬時に施工されることなどである。

図-4 の例から、式(5)を用ひながらどちらかといふと排水溝水気味である傾向があり、これとちのとり方が相乗して地盤量ともなくなつたようである。

なお、図-5 には一次圧密のみによる地図曲線と二次圧密を考慮した場合の結果を示しており、間隙水圧の消失まで 100 日で約 30~40 cm の二次圧密が、図-3 のようなモデル地盤の場合に生じている結果となる。

4. あとがき 本文で紹介した結果は現在著者らが行なった数値実験の一部であり、他のいくつかへの影響を考慮して場合の結果についても追加報告を予定している。

引用文献 1) 寺原・山内(1977)：土質工学会シンポジウム論文集、2) 寺原(1978)：第13回土質工学講演集、3) 寺原(1978)：第33回地学会年譲、地盤部、4) Davis & Raymond (1965) : Geotechnique, Vol. 15, 5) 三笠(1965) : 鹿島出版会。

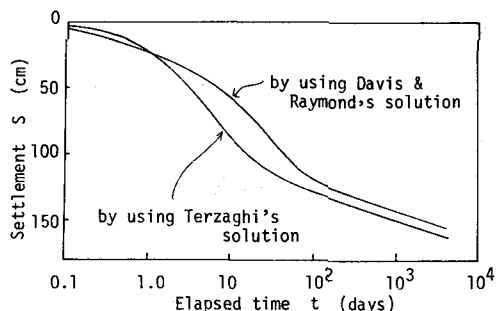


図-4 地下曲線の比較

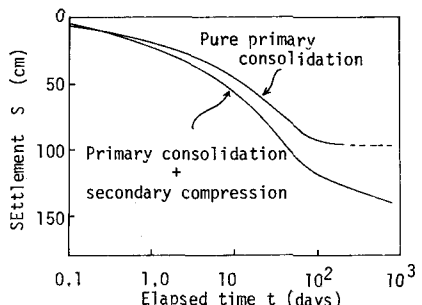


図-5 地下曲線の比較